

آنالیز هندسی تغییر شکل سد گتوند علیا با استفاده از مشاهدات شبکه پایش ژئودتیک دائم

منور ابراهیمی‌پور^۱، بیزان عامریان^{۲*}، مهدی رویان‌نائینی^۲

-۱ دانشجوی کارشناسی ارشد ژئودزی، دانشکده مهندسی نقشه‌برداری، دانشگاه صنعتی خواجه نصیرالدین طوسی
-۲ استادیار دانشکده مهندسی نقشه‌برداری، دانشگاه صنعتی خواجه نصیرالدین طوسی

تاریخ دریافت مقاله: ۱۳۹۶/۰۵/۰۳ تاریخ پذیرش مقاله: ۱۳۹۶/۱۰/۲۳

چکیده

در این مقاله با استفاده از بردارهای جابجایی روزانه، ماهانه، فصلی و سالانه حاصل از مشاهدات دائم شبکه پایش ژئودتیک سد گتوند علیا، آنالیز دو بعدی تغییر شکل برای نواحی بدنه و تاج سد صورت گرفته و تansور کرنش صفحه‌ای و مفسرهای ناورداری آن همچون اتساع و ماقریزم برش محاسبه شده‌اند. از آنجاکه المان محدود خطی بهدرستی روند تغییر شکل واقعی سد مزبور را آشکار نمی‌سازد، در نتیجه تحلیل تغییر شکل این سد با به کارگیری روش المان محدود غیرخطی بر مبنای درون‌یابی پیوسته بزرگ مکعبی صورت گرفته و تansور کرنش خطی بر مبنای نگرش لاغرانژی محاسبه گردیده است. نتایج به دست آمده از کمیت اتساع حاصل از مشاهدات روزانه، مربوط به روز پنجم آبان از سال‌های ۹۳ و ۹۴، نشان‌دهنده این مطلب است که اکثر نقاط شبکه دستخوش انبساط بوده‌اند. این در حالی است که در همان روز از سال ۹۵، دستخوش انقباض شده‌اند. از طرفی، نتایج حاصل از مشاهدات ماهانه مربوط به ماه شهریور از سال‌های ۹۳ و ۹۴ نشان می‌دهد که اکثر نقاط شبکه دچار انقباض شده، اما در شهریور ماه سال ۹۵ دچار انبساط شده‌اند. نتایج به دست آمده از کمیت اتساع حاصل از مشاهدات فصلی، برای فصل تابستان در سال ۹۳ نشان‌دهنده این مطلب است که اکثر نقاط شبکه دستخوش انقباض بوده و در فصل زمستان همان سال دستخوش انبساط بوده‌اند. همچنین بردارهای جابجایی سالانه (از تیر ۹۳ تا تیر ۹۴) نشان می‌دهند که اکثر نقاط شبکه دچار انقباض بوده است. اما مقادیر اتساع حاصل از بردارهای جابجایی سالانه (از تیر ۹۴ تا تیر ۹۵) نشان می‌دهد که اکثر نقاط شبکه دچار انبساط شده‌اند. نتایج ذکر شده حاصل از مشاهدات در بازه‌های ماهانه، فصلی و سالانه با تغییرات تراز آب پشت سد مطابقت دارد. همچنین آزمون آماری بهمنظور بررسی معنادار بودن پارامترهای ناورداری حاصل از مشاهدات انجام گردید.

کلیدواژه‌ها: آنالیز هندسی تغییر شکل، المان محدود غیرخطی، تansور کرنش، آزمون آماری.

* نویسنده مکاتبه کننده: دانشکده مهندسی نقشه‌برداری دانشگاه صنعتی خواجه نصیرالدین طوسی
تلفن: ۸۸۸۷۷۰۷۱ (داخلی: ۳۰۲)

۱- مقدمه

این نوع از پایش است، سد گتوند علیا می‌باشد. سد گتوند علیا یکی از بزرگ‌ترین سدهای ایران است که از نوع سنگریزهای با هسته رسی دارای ۷۶۰ متر طول تاج و ۱۷۸ متر ارتفاع از پی بوده و در استان خوزستان در مجاورت شهر گتوند احداث گردیده است. با توجه به حجم و ابعاد سازه سد و حساسیت ویژه آن، از تیر ماه سال ۱۳۹۰ به منظور محاسبه و تعیین جابجایی نقاط نشانه‌روی^۲ سد، از روش پایش دائم استفاده شده است. مشاهدات این روش شامل بردارهای جابجایی روزانه، ماهانه، فصلی و سالانه از ابتدای سال ۹۲ تاکنون می‌باشد [۶]. پر واضح است که تعبیر و تفسیر تغییر شکل با کمک بردارهای جابجایی کاری دشوار بوده و علاوه بر آن از دیدگاه مهندسی سازه نیز کمیت مورد نیاز برای بررسی وضعیت سازه، تنش وارد بر سد بوده که دستیابی به آن نیازمند کرنش سازه است. همچنین فرمول ریاضی جابجایی‌ها به صورت تحلیلی در اختیار ما قرار ندارند و تنها با استفاده از اندازه‌گیری‌ها، مختصات سه بعدی و بردارهای جابجایی نقاط به صورت گستته به دست می‌آیند. از این رو در محاسبه تانسورهای تغییر شکل نیازمند مشتقهای مولفه‌های بردار جابجایی و سایر کمیت‌های هندسی دیگر می‌باشیم که همگی نیازمند روابط پیوسته آن‌ها می‌باشد. لذا شکل پیوسته این توابع، باید با استفاده از روش‌های درونیابی مناسب از طریق مشاهدات موجود، با بهترین تقریب به دست آید [۷]. سیستم پایش دائم^۳ سد گتوند علیا شامل دو ایستگاه (پیلار) توانل ۱ استیشن در دو طرف بدنه سد به نام‌های TPSR و GPSR که مجهز به گیرنده GPS نیز هستند، می‌باشد. هم چنین دو ایستگاه GPS در دو طرف بدنه سد به نام‌های GPSR و GPSR وجود دارد. این چهار ایستگاه خارج از بدنه سد ایجاد شده‌اند. در ابتداء مختصات این چهار ایستگاه در سیستم تصویر به صورت

امروزه مطالعه تغییر شکل سازه‌های مهندسی همچون سدها، نیروگاه‌ها و برج‌ها از جمله مباحث مورد علاقه مهندسی نقشه‌برداری بوده و از اهمیت بسیار بالایی برخوردار است. این تغییر شکل بر اثر نیروهای داخلی و خارجی وارد بر ذرات تشکیل‌دهنده جسم ایجاد می‌شود. سازه‌های مهندسی معمولاً به دو روش ژئوتکنیکی و ژئودتیکی (ژئودزی) مورد پایش قرار می‌گیرند. امروزه در ایران همه سدهای کشور دارای ابزارهای دقیق کنترل بوده و همچنین به صورت دوره‌ای با مشاهدات ژئودزی مورد پایش قرار می‌گیرند. در سال‌های اخیر، مطالعات گستره‌ای جهت آنالیز تغییر شکل سدها به کمک مشاهدات ژئودتیکی صورت پذیرفته است. به عنوان مثال می‌توان به پایان‌نامه کارشناسی ارشد قره‌باغی با موضوع آنالیز تغییر شکل سدها از طریق تلفیق مشاهدات ژئودزی زمینی و ماهواره‌ای اشاره کرد [۱]. عمدتاً به رفتار سنجی سد خاکی مارون بهبهان با استفاده از مشاهدات ژئوتکنیکی و ژئودتیکی پرداخته است [۲]. جمور و همکاران به مطالعه میزان لغزش زمین و آنالیز تغییر شکل در توده رانشی جناح راست سد مهاباد با استفاده از مشاهدات سیستم تعیین موقعیت جهانی (GPS)^۱ پرداخته‌اند [۳]. دنگ و همکاران با استفاده از روش کمترین مربعات، آنالیز تغییر شکل سدها را مورد بررسی قرار دادند [۴]. اردلان و رووفیان نائینی به محاسبه تغییر شکل شبکه ژئودینامیک کشور با استفاده از تانسور کرنش از راه تغییرات طول‌ها و زاویه‌ها پرداختند [۵]. از عمدت‌ترین تحولات سال‌های اخیر امکان پایش دائمی سدها به طور خودکار می‌باشد که توسط گیرنده‌های GPS و دستگاه‌های توتال استیشن اتوماتیک انجام می‌شود. در ایران نیز این موضوع مد نظر قرار گرفته و تنها سدی که دارای

² Target³ Permanent Monitoring^۱ Global Positioning System

مبانی درونیابی مرتبه یک پیوسته بزیر مکعبی^۱ استفاده می‌شود. در این روش منطقه مورد مطالعه با کمک مثلث بندی دلونی به نواحی کوچکتر افزایش می‌شود و در محدوده این المان‌ها شکل توابع به صورت تحلیلی با توابع هموار و غیرخطی با در نظر گرفتن قیود مشخص تقریب زده می‌شود و کرنش در هر یک از این المان‌ها از روابط خطی محاسبه می‌شود. سپس از آزمون‌های آماری با هدف بررسی معنادار بودن تفاوت پارامترهای ناوردا استفاده می‌گردد [۸].

۲- نظریه تغییر شکل

مطالعه تغییر شکل اجسام در حوزه مبحث مکانیک محیط‌های پیوسته بررسی می‌شود. بیان قوانین تغییر شکل از نقطه نظر ریاضی به این صورت است که هر جسم به صورت یک محیط پیوسته در نظر گرفته می‌شود. به طوری که فرض می‌شود ماده در تمام فضای جسم توزیع پیوسته دارد. مطابق شکل (۱) در آنالیز تغییر شکل، همواره ویژگی‌های جسم در دو وضعیت مرجع^۲ و وضعیت جاری^۳ مورد مقایسه قرار می‌گیرد. بنابراین با تعریف یک دستگاه مختصات در فضای جسم می‌توان توصیف ریاضی از جابجایی ذرات جسم بین این دو وضعیت، در موقعیت‌های زمانی متفاوت داشت. این دستگاه مختصات در وضعیت مرجع، دستگاه مختصات لاغرانژی و در وضعیت جاری، دستگاه مختصات اویلری نامیده می‌شود. بردار موقعیت نقاط در وضعیت مرجع را با X و در وضعیت جاری را با x نشان می‌دهند. بنابراین در حالت کلی، معادلات تغییر شکل جسم را می‌توان به صورت زیر بیان کرد [۵]:

رابطه (۱)

$$x_i = F^i(X_k, t), \quad i=1,2,3, \quad k=1,2,3$$

در معادله فوق، X و x به ترتیب مولفه‌های

لحظه‌ای توسط نرم‌افزار Spider پردازش و محاسبه می‌گردد و مختصات لحظه‌ای ایستگاه‌های دائمی مشاهداتی توتال استیشن از طریق نرم‌افزار GeoMos به توتال استیشن‌ها داده می‌شود. در نرم‌افزار GeoMos با ثابت درنظر گرفتن مختصات پیلارهای TPSR و TPSL، مختصات نقاط نشانه‌روی بدنه و سریز سد، محاسبه شده و در نتیجه مقادیر بردارهای جابجایی نقاط نشانه‌روی در بازه‌های زمانی روزانه، ماهانه، فصلی و سالانه محاسبه و ترسیم می‌گردد. در روش پایش پیوسته، زمان انجام مشاهدات به صورت اتوماتیک و توسط نرم‌افزارهای موجود قابل برنامه‌ریزی است. با توجه به فعالیت دائمی سیستم پایش دائم، امکان انجام مشاهدات و دسترسی به اطلاعات جمع‌آوری شده بدون نیاز به اپراتور وجود داشته و لذا برخلاف روش کلاسیک، در این روش مناسب با افزایش ارتفاع آب مخزن، به صورت لحظه‌ای امکان بررسی وضعیت نقاط نشانه فراهم می‌گردد. بردارهای جابجایی نقاط پایش سد مذکور که شامل ۵۰ نقطه در تاج و بدنه سد است، در بازه‌های زمانی مختلف در دسترس می‌باشند.

هدف این مقاله، آنالیز دو بعدی تغییر شکل سد گتوند علیا می‌باشد. بردارهای جابجایی به سبب وابستگی به سیستم مختصات، ابزار مناسبی برای آنالیز تغییر شکل نمی‌باشند و بر همین اساس در این تحقیق از تانسور کرنش برای مطالعه تغییر شکل سد استفاده شده است. از آنجا که تانسور کرنش وابسته به مشتقات بردار جابجایی است، لذا برای محاسبه آن می‌باشد. شکل پیوسته بردار جابجایی سد معلوم باشد. با توجه به اینکه شکل تحلیلی بردار جابجایی در مسئله حاضر در اختیار نمی‌باشد، به منظور برآورد مشتقات آن می‌باشد شکل تحلیلی بردار جابجایی از طریق روش‌های درونیابی تخمین زده شود. بدین منظور در مطالعه پیش رو از روش المان محدود غیرخطی بر

¹ Cubic Bezier

² Reference State

³ Current State

$$ds^2 = d\vec{x}_i d\vec{x}_i, dS^2 = d\vec{X}_i d\vec{X}_i \quad \text{رابطه (۲)}$$

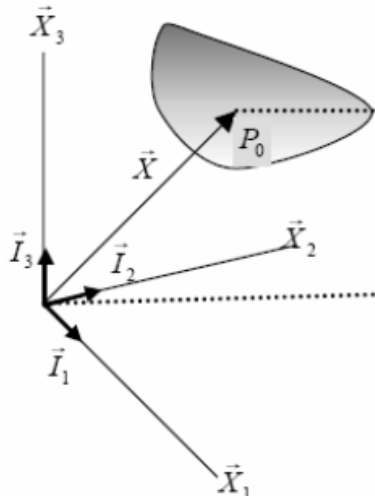
از تفاضل این دو المان طولی در وضعیت مرجع و وضعیت جاری داریم [۵]:

$$ds^2 - dS^2 = 2E_{ij} d\vec{X}_i d\vec{X}_j \quad \text{رابطه (۳)}$$

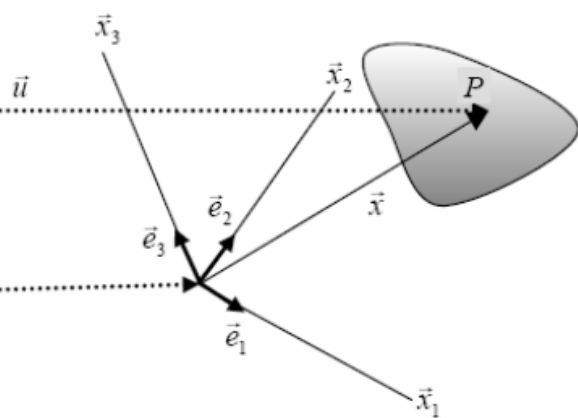
که در آن E تانسور کرنش بوده که مولفه‌های آن با رابطه (۴) بیان می‌شوند که در آن δ_{ij} تابع دلتای کرونکر است.

$$E_{ij} = \frac{1}{2} \left(\frac{\partial \vec{x}_k}{\partial \vec{X}_i} \frac{\partial \vec{x}_k}{\partial \vec{X}_j} - \delta_{ij} \right) \quad \text{رابطه (۴)}$$

Ref. State



Cur. State



شکل ۱: نمایش حالت مرجع و جاری [۵]

$$\frac{\partial \vec{x}_k}{\partial \vec{X}_i} = \frac{\partial \vec{u}_k}{\partial \vec{X}_i} + \delta_{ki} \quad \text{رابطه (۶)}$$

با جایگذاری رابطه (۶) در رابطه (۴) و ساده‌سازی نتایج خواهیم داشت [۵]:

$$E_{ij} = \frac{1}{2} \left(\frac{\partial \vec{u}_i}{\partial \vec{X}_j} + \frac{\partial \vec{u}_j}{\partial \vec{X}_i} + \frac{\partial \vec{u}_k}{\partial \vec{X}_i} \frac{\partial \vec{u}_k}{\partial \vec{X}_j} \right) \quad \text{رابطه (۷)}$$

رابطه فوق، تانسور کرنش غیرخطی در نگرش لاغرانژی است. اگر در تغییر شکل، گرادیان جابجایی کوچک باشد، آنگاه می‌توان از جملات غیرخطی در رابطه فوق صرف‌نظر نمود و تانسور کرنش خطی را به صورت زیر به دست آورد:

۳- بیان تانسورهای کرنش براساس بردار جابجایی

در کاربردهای عملی، معادلات تغییر شکل در اختیار نمی‌باشد. بلکه با اندازه‌گیری‌های ژئودتیکی بردار جابجایی را به دست می‌آوریم. برای این منظور لازم است که در رابطه (۴) تانسور کرنش را بر مبنای بردار جابجایی بیان کنیم. با توجه به شکل (۱)، بردار جابجایی \vec{u} را می‌توان به صورت زیر به دست آورد:

$$\vec{u} = \vec{x} - \vec{X} + \vec{b} \quad \text{رابطه (۸)}$$

از رابطه فوق خواهیم داشت [۵]:

خطی در افزارهای مثلثی است. در این روش بردار جابجایی با تابعی خطی از موقعیت مطابق رابطه زیر تقریب زده می‌شود:

$$\begin{aligned}\mathbf{u} &= a_0 + a_1 X + a_2 Y \\ \mathbf{v} &= b_0 + b_1 X + b_2 Y\end{aligned}\quad (11)$$

برای هریک از المان‌های مثلثی، مولفه‌های بردار جابجایی مطابق رابطه فوق در نظر گرفته شده و از طریق مقادیر مشاهداتی بردار جابجایی در رئوس هر مثلث، مقادیر ضرایب برآورده می‌گردد. درونیابی فوق، برای محاسبه تانسور کرنش خطی، یعنی زمانی که تغییر شکل‌ها کوچک باشد مناسب است.

در این مقاله از روش المان محدود غیرخطی بر مبنای درونیابی پیوسته بزرگ مکعبی برای محاسبه تانسور کرنش غیرخطی بر مبنای نگرش لاغرانژی استفاده گردید. همانطور که گفتیم، در روش المان محدود، ابتدا فضای کمک روش دلونی به المان‌های کوچک‌تر، در اینجا المان‌های مثلثی به مانند شکل (۲) با نقاط گرهای δ_{ijk} ، تقسیم می‌گردد. سپس با کمک مقادیر عددی بردار جابجایی در رئوس هر المان، یک تابع ریاضی، برای بردار جابجایی در هر المان با روش‌های درونیابی محاسبه می‌گردد. به این تابع ریاضی، اصطلاحاً تابع شکل^۱ گفته می‌شود. در اینجا روش‌های درونیابی که جزء کلاس^۱ هستند را انتخاب می‌کنیم که دارای توابع درونیاب پیوسته مرتبه اول در مرز مشترک بین المان‌های شبکه می‌باشند. این امر به سبب ایجاد یک درونیاب هموار با حفظ پیوستگی خود تابع و مشتق مرتبه اول آن در گذر از مرز دو المان مجاور در کل شبکه حائز اهمیت می‌باشند [۸]. از طرف دیگر، برخلاف روش تقریب خطی که برای هر المان مثلثی، یک تانسور کرنش ثابت محاسبه می‌گردد و مقدار آن به مرکز المان نسبت داده می‌شود، در روش حاضر، مقدار کرنش برای هر المان وابسته به موقعیت نقطه

$$\mathbf{E}_{ij} = \frac{1}{2} \left(\frac{\partial \mathbf{u}_i}{\partial \mathbf{X}_j} + \frac{\partial \mathbf{u}_j}{\partial \mathbf{X}_i} \right) \quad (8)$$

۱-۳- مفسرهای ناوردای تغییر شکل

مقادیر ویژه تانسور کرنش کمیت‌های ناوردایی هستند که برای تفسیر تغییر شکل به کار می‌روند. به کمک این مقادیر معیارهای اسکالر تغییر شکل به صورت زیر محاسبه می‌شوند:

$$\Delta = \lambda_1 + \lambda_2 \quad , \quad \gamma = \lambda_1 - \lambda_2 \quad (9)$$

در رابطه (۹)، λ_1 و λ_2 مقادیر ویژه تانسور کرنش بوده و از رابطه (۱۰) بدست می‌آیند:

$$(10)$$

$$\lambda_{1,2} = \frac{1}{2} \left(\mathbf{E}_{11} + \mathbf{E}_{22} \pm \sqrt{(\mathbf{E}_{11} - \mathbf{E}_{22})^2 + 4\mathbf{E}_{12}} \right)$$

و همچنین در رابطه (۹)، Δ کمیت اتساع نامیده شده که تفسیر هندسی آن تغییر مساحت واحد سطح است. در واقع Δ بخش ایزوتروپیک تغییر شکل را بیان می‌کند. کمیت γ نیز ماکریتم برش بوده و مقدار آن همیشه مثبت می‌باشد. این کمیت بخش غیرایزوتروپیک تغییر شکل را در همسایگی کوچک یک نقطه نشان می‌دهد [۵].

۲-۳- محاسبه عددی مولفه‌های تانسور کرنش

با توجه به رابطه (۷) و (۸) دیده می‌شود که به منظور محاسبه مولفه‌های تانسور کرنش، نیاز به مشتقهای بردار جابجایی بر حسب موقعیت می‌باشد. بنابراین لازم است که شکل تحلیلی بردار جابجایی در اختیار باشد. اما از آنجا که مقادیر عددی بردار جابجایی سد، تنها در برخی از نقاط به صورت گسسته اندازه‌گیری شده است، لذا می‌بایست شکل پیوسته آن از طریق روش‌های درونیابی و تقریب محاسبه گردد. یکی از روش‌های قدرتمند در این مبحث، استفاده از تکنیک المان محدود است که در آن، کل سد به نواحی کوچکتری افزار شده و در محدوده هر ناحیه، بردار جابجایی با توابعی مشخص از موقعیت تقریب زده می‌شود. از روش‌های معمول و پرکاربرد در این زمینه، تقریب

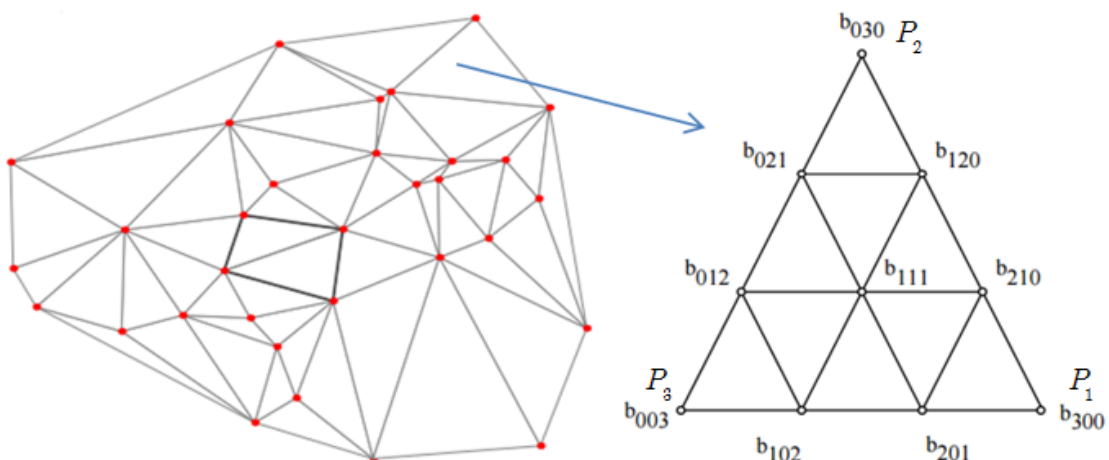
^۱ Shape Function

داخل آن بوده و برای کل المان یک عدد ثابت ارائه نمی‌گردد که بسیار نزدیکتر به واقعیت فیزیکی مسئله است. ثانیاً درون یابی بزیر مکعبی علاوه بر پیوستگی بردار جابجایی، پیوستگی مشتقات آن را نیز در مرز بین المان‌ها برقرار می‌سازد. در ادامه به‌طور خلاصه توابع درونیاب و نحوه محاسبه آن به‌کمک روش المان محدود غیرخطی شرح داده می‌شود.

فرض می‌کنیم شبکه‌ای از نقاط گسسته شامل n نقطه در صفحه $y-x$ در اختیار باشد. مختصات این نقاط با x_i و y_i به ازای $i=1,2,3,\dots,n$ نشان داده می‌شود. اکنون فرض می‌کنیم که مقدار کمیت فیزیکی F در این نقاط از طریق مشاهدات در اختیار باشد. به عبارت دیگر داده‌های موجود با رابطه (۱۲)

تعریف می‌شوند.
 $W_i = F(x_i, y_i), i=1,2,3,\dots,n$ رابطه (۱۲)

که در آن W از طریق مشاهدات در اختیار است. در اینجا هدف یافتن شکل ریاضی تابع $F(x_i, y_i)$ است که در نقاط فوق دارای مقادیر اندازه‌گیری شده W_i باشد. برای تعیین شکل ریاضی تابع $F(x_i, y_i)$ از روش المان محدود غیرخطی و درون یابی بزیر مکعبی استفاده می‌کنیم. b_{ijk} مقدار تابع F در این نقاط گرهی است. طبق فرض تنها مقادیر b_{030} , b_{300} و b_{003} از طریق مشاهدات در اختیار می‌باشند. سایر b_{ijk} باید از طریق محاسبات و به صورتی که در ادامه ذکر می‌گردد، تعیین شوند [۸ و ۷].



شکل ۲: نمایش المان مثلثی بزیر مکعبی [۸]

در روش درون یابی بزیر مکعبی، تابع درونیاب، در مرکز هر مثلث با رابطه (۱۳) تعریف می‌شود:
 $P(u, v, w) = c_1 P_1(u, v, w) + c_2 P_2(u, v, w) + c_3 P_3(u, v, w)$ رابطه (۱۳)

رابطه (۱۳)، توابع مثلثی بزیر مکعبی نام دارد و با رابطه کلی زیر بر حسب مقادیر b_{ijk} تعریف می‌گردد [۷].

در رابطه فوق، $c_i, i=1,2,3$ با شرط $c_1 + c_2 + c_3 = 1$ توابع وزن در هر مثلث بوده و همچنین u, v و w مختصات باریسنتریک^۱ نقاط داخل هر مثلث می‌باشد. چند جمله‌ای‌های P_i در

^۱ Barycentric Coordinate

$$P_i(u, v, w) = b_{300}u^3 + b_{030}v^3 + b_{003}w^3 + 3b_{210}u^2v + 3b_{201}u^2w + 3b_{120}uv^2 + 3b_{102}uw^2 + 3b_{021}v^2w + 3b_{012}vw^2 + 6b_{111}uvw \quad (14)$$

اندازه‌گیری کمیت‌های دیگر محاسبه شده است، از این رو براساس اصل اندازه‌گیری، این تansور در حکم یک متغیر تصادفی^۱ در نظر گرفته شده و فرض می‌شود که ازتابع توزیع نرمال تانسوری گاووس-لاپلاس^۲ پیروی می‌کنند [۵]. در ادامه دو آزمون آماری به منظور بررسی معنی دار بودن مولفه‌های تانسور کرنش و مفسرهای ناوردای آن ارائه می‌شود. هدف از این دو آزمون، آزمایش اندازه مقادیر ویژه و جهت ماکزیمم برش در مقابل یک مقدار فرضی است. این کمیتها را با بردار ξ به صورت زیر نمایش می‌دهیم:

$$\xi = \begin{bmatrix} \lambda_1 \\ \lambda_2 \\ \alpha \end{bmatrix} \quad (15)$$

که در آن λ_1 و λ_2 مقادیر ویژه و α جهت ماکزیمم برش بوده و با روابط زیر بر حسب مولفه‌های تانسور کرنش تعریف می‌گردد:

$$\begin{aligned} E_{11} &= \lambda_1 \cos^2 \alpha + \lambda_2 \sin^2 \alpha \\ E_{12} = E_{21} &= \frac{1}{2} (\lambda_2 - \lambda_1) \sin 2\alpha \\ E_{22} &= \lambda_1 \sin^2 \alpha + \lambda_2 \cos^2 \alpha \end{aligned} \quad (16)$$

برای انجام این آزمون‌های آماری فرض می‌کنیم که n نمونه از تانسور کرنش در اختیار باشد (تانسور کرنش از چند طریق مشاهده شده باشد. در واقع در اینجا مولفه‌های تانسور کرنش به عنوان مشاهده در نظر گرفته می‌شوند). مولفه‌های این تانسورها را در ماتریس زیر ذخیره می‌کنیم:

$$Y = \begin{bmatrix} y_{1,1} & \dots & y_{1,n} \\ y_{2,1} & \dots & y_{2,n} \\ y_{3,1} & \dots & y_{3,n} \end{bmatrix} \quad (17)$$

که در آن

¹ Random Tensor

² Tensor Valued Gauss-Laplace

در رابطه فوق مختصات‌های بزیر b_{300} , b_{030} , b_{003} در سه رأس المان مثلثی بزیر به ترتیب برابر با مقادیر عددی تابع در رئوس P_1 , P_2 و P_3 از مثلث بزیر در شکل (۲) هستند. سایر نقاط کنترل یعنی b_{ijk} روى اضلاع المان مثلثی بزیر می‌باشد. همچنین b_{ijk} , $i=1,2,3$ مختصات‌های بزیر درونی هستند. برای کوتاه‌تر شدن ساختار مقاله، جزئیات روش درون‌یابی مورد استفاده در این بخش شرح داده نخواهد شد. برای آشنایی بیشتر، به مقاله ملکشاهیان و رویان‌نائینی (۱۳۹۵) مراجعه شود [۸].

۳-۳- استفاده از بیضی کرنش برای تفسیر تغییر شکل

بیضی کرنش یکی دیگر از راههای بیان تفسیر تغییر شکل جسم می‌باشد. در اینجا مقادیر ویژه تانسور کرنش برابر نیم قطر بزرگ و کوچک بیضی در نظر گرفته می‌شود. شکل و ابعاد بیضی کرنش را می‌توان به این صورت تفسیر کرد که اگر برش صورت نگرفته باشد، بیضی کرنش تبدیل به دایره می‌شود و در صورت وقوع انبساط و انقباض، به ترتیب مقادیر ویژه، مثبت و منفی خواهد بود. اگر مقادیر ویژه مثبت باشند، پیکان‌هایی رو به بیرون در امتداد قطرهای آن رسم می‌شوند. از طرفی، اگر مقادیر ویژه منفی باشند، شکل مقطع مخروطی مربوطه، هذلولی است، اما به جای آن قدر مطلق مقادیر ویژه به منزله ابعاد بیضی در نظر گرفته می‌شود و فقط نوک پیکان‌ها برای نشان دادن منفی بودن مقادیر ویژه به سمت داخل رسم می‌شوند. جهت قطرهای بیضی نشان‌دهنده‌ی جهت‌هایی است که در امتداد آن‌ها حداکثر و حداقل برش صورت گرفته است [۵].

۴-۴- آنالیز آماری

در مسئله حاضر، با توجه به اینکه تانسور کرنش از راه

شبکه پایش دائم ژئودتیک سد گتوند علیا و مثلث‌بندی دلوانی انجام شده بر روی نقاط این شبکه را نشان می‌دهد.

نمودار شکل (۴) میزان حداکثر تراز آب پشت سد را از ابتدای آبگیری تا کنون نشان می‌دهد. همان طور که مشاهده می‌شود حداکثر تراز آب در شهریور سال ۹۳ اتفاق افتاده است. در نتیجه از بردارهای جابجایی این ماه مقادیر کرنش‌های اصلی شبکه محاسبه گردید. در شکل (۵) مقادیر کرنش‌های اصلی (در راستای بردارهای ویژه تانسور کرنش) برای هر المان به همراه بیضی کرنش مربوطه نمایش داده شده است که نشان‌دهنده جهت‌های ماکزیمم و مینیمم تغییر شکل هستند. همان‌طور که مشخص است، به‌طور تقریبی بیشترین تغییر شکل در راستای عمود بر دیواره سد و کمترین در راستای دیواره سد می‌باشد.

در گام بعد، تانسور کرنش صفحه‌ای و مفسرهای ناوردای آن همچون اتساع و ماکزیمم برش با استفاده از روش المان محدود غیرخطی در هر المان مثلثی به‌منظور تفسیر هندسی تغییر شکل، مقادیر کمیت برآورد گردیده است. در شکل (۶ و ۸) مقادیر اتساع حاصل از مشاهدات روزانه، مربوط به روز ۵ آبان از سال‌های ۹۳ و ۹۴ نشان داده شده‌اند. مقادیر مثبت کمیت اتساع نشان‌دهنده کشیدگی و مقادیر منفی نشان‌دهنده انبساط شبکه است. این شکل‌ها نشان‌دهنده انتخاب انسدادی انتخابی واقع در تاج و بدن سد دستخوش انبساط بوده‌اند. شکل (۷ و ۹) مقادیر کمیت ماکزیمم برش حاصل از همان مشاهدات را نشان می‌دهد که همان‌طور که از رابطه ریاضی مربوط به آن انتظار می‌رود، مقدار این کمیت همواره مثبت است. شکل (۱۰) کمیت اتساع حاصل از مشاهدات روزانه، مربوط به روز ۵ آبان از سال ۹۵ را نشان می‌دهد که مقادیر اتساع نشان‌دهنده این مطلب است که اکثر بخش‌ها دچار انبساط و تنها بخش شمال شرقی شبکه دچار انبساط شده است. شکل (۱۱) کمیت ماکزیمم برش مربوط به همان روز از سال ۹۵ را

رابطه (۱۸)

$$y_{1,1} = E_{11}, \quad y_{2,1} = E_{21}, \quad y_{3,1} = E_{22}$$

مولفه‌های تانسور کرنش می‌باشند. به عنوان مثال $y_{3,2}$ مولفه E_{22} نمونه دوم است.

به‌منظور آزمایش برابر بودن المان‌های ویژه با مقدار ξ_0 در مقابل مقدار فرضی ξ_0 ، فرض آماری در این آزمون به صورت زیر بیان می‌شود [۵] :

$$H_0: \xi_0 = \xi_0 \quad H_a: \xi_0 \neq \xi_0 \quad \text{رابطه (۱۹)}$$

آماره ریاضی که در اینجا در نظر گرفته می‌شود، به صورت زیر است:

رابطه (۲۰)

$$T^2 = \left(\frac{n}{n-1} \right) [\xi - \xi_0]^T A^T \sum_{Y}^{-1} A [\xi - \xi_0]$$

که در آن Σ_Y ماتریس وریانس-کووریانس نمونه مشاهداتی Y بوده و ماتریس A با رابطه (۲۱) تعریف می‌گردد:

رابطه (۲۱)

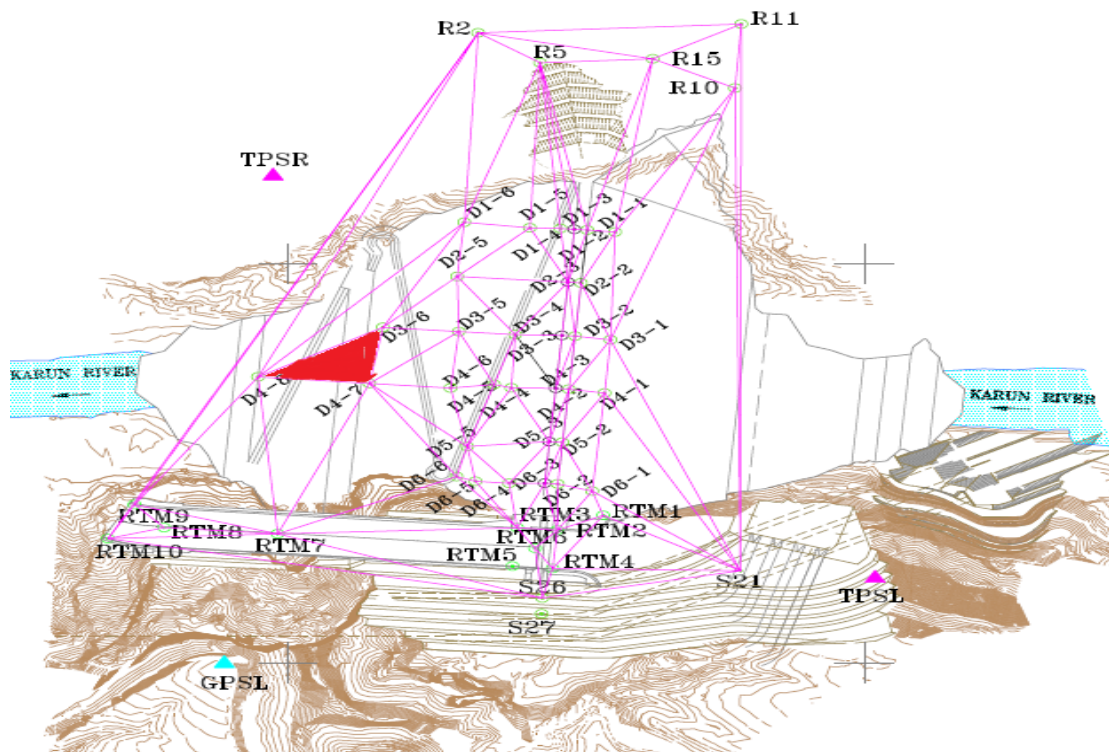
$$A = \begin{bmatrix} \cos^2 \alpha & \sin^2 \alpha & \lambda_2 - \lambda_1 \sin 2\alpha \\ \frac{1}{2} \sin 2\alpha & -\frac{1}{2} \sin 2\alpha & -\lambda_2 - \lambda_1 \cos 2\alpha \\ \sin^2 \alpha & \cos^2 \alpha & -\lambda_2 - \lambda_1 \sin 2\alpha \end{bmatrix}$$

ماتریس A به ازای مقادیر ویژه ξ_0 برآورد می‌گردد. این آماره از تابع توزیع فیشر تعییت می‌کند. با انتخاب یک سطح اطمینان مشخص، می‌توانیم در مورد درستی یا رد فرض صفر تصمیم‌گیری کنیم.

۴- نتایج عددی

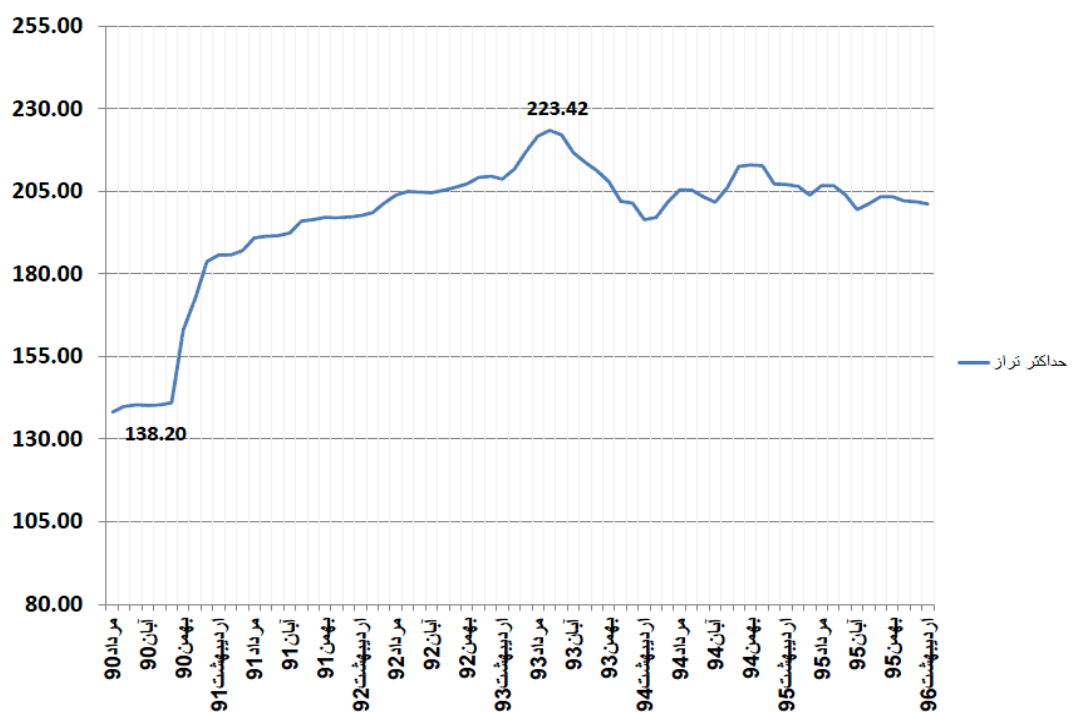
سد گتوند علیا از نوع سدهای خاکی بوده و با توجه به رفتار سدهای خاکی، جابجایی‌های معناداری را می‌توان در تاج و بدن سد انتظار داشت. بدین منظور در این مقاله آنالیز تغییر شکل این سد مد نظر قرار گرفته است. در گام نخست مختصات‌های ۵۰ نقطه پایش دائم سد گتوند علیا در سیستم مختصات UTM و بردارهای جابجایی نقاط در بازه زمانی ۱۳۹۳ تا ۱۳۹۵ از شرکت توسعه منابع آب و نیروی ایران اخذ گردید. شکل (۳) پراکندگی نقاط

نشان می‌دهد.

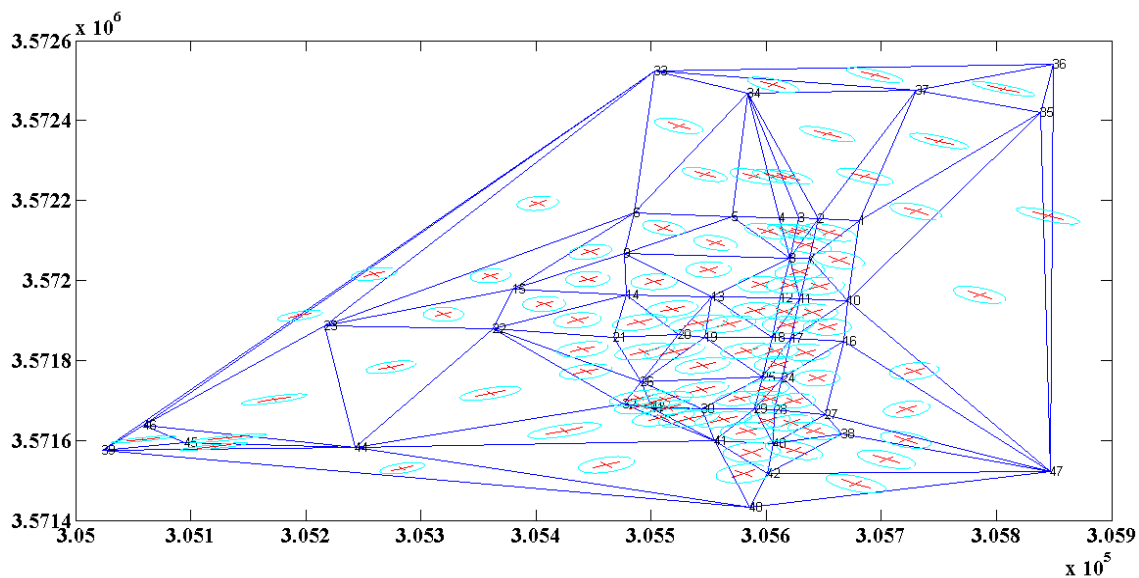


شکل ۳: جانمایی موقعیت نقاط موجود در شبکه پایش دائم زئودتیک و مثلث بندی دلوی نقاط

حداکثر تراز



شکل ۴: سطح تراز مخزن سد از ابتدای آغاز تاکنون



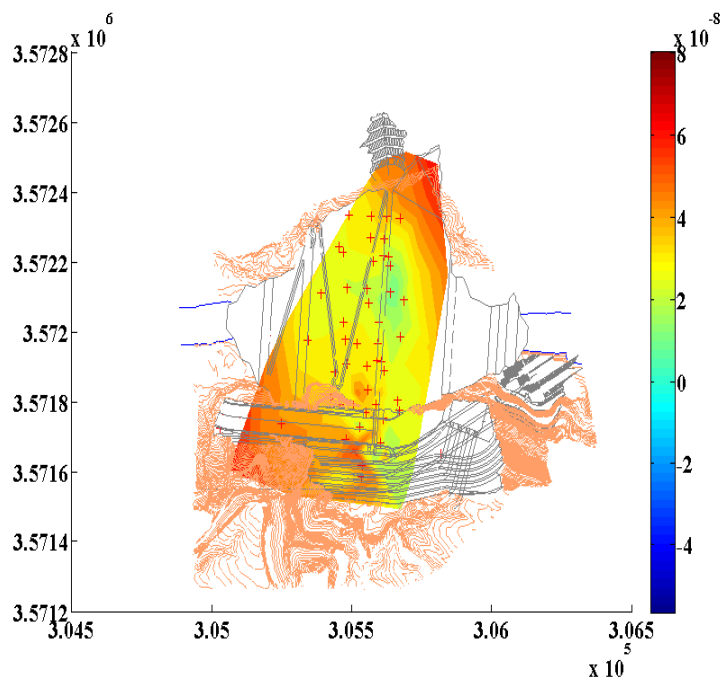
شکل ۵: نمایش المان های مثلثی به همراه بیضی های گرنش و امتدادهای ماکریم و مینیمم تغییر شکل المان

انبساط بوده اند. در حالی که در فصل زمستان اکثر نقاط شبکه دستخوش انبساط می باشند. از شکل (۴) مشخص است که میانگین سطح تراز آب مخزن در فصل تابستان و زمستان به ترتیب 220.73 و 207.05 است. لذا سطح تراز در تابستان بیشتر از زمستان بوده و در نتیجه در فصل تابستان انقباض و در فصل زمستان انبساط در بدنه رخ می دهد. همچنین شکل (۲۱ و ۱۹) مقادیر کمیت ماکریم بر اثر مربوط به همان زمان را نشان می دهند.

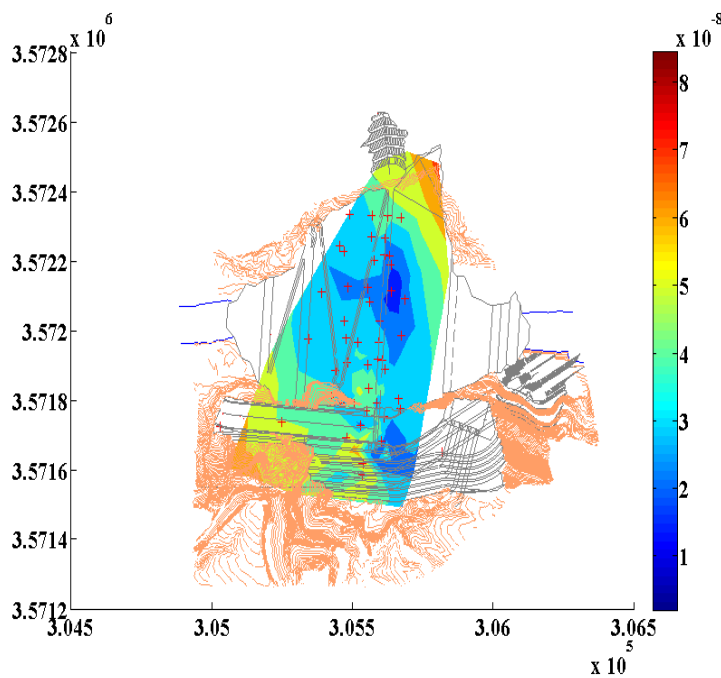
شکل (۲۲ و ۲۴) کمیت اتساع حاصل از مشاهدات سالانه (از تیر ۹۳ تا تیر ۹۴) و (از تیر ۹۴ تا تیر ۹۵) را نشان می دهد. در سال نخست، اکثر نقاط شبکه دستخوش انقباض و در سال بعد دستخوش انبساط بوده اند. طبق شکل (۴) میانگین سطح تراز آب مخزن در سال نخست 227.72 و در سال بعد 223.88 می باشد که این نتیجه را تأیید می کند. همچنین شکل (۲۳ و ۲۵) مقادیر ماکریم بر اثر مربوط به آن مشاهدات می باشد.

شکل (۱۲ و ۱۴) کمیت اتساع حاصل از بردارهای جابجایی ماهانه، برای ماه شهریور از سال های ۹۴ و ۹۳ را نشان می دهد. بر این اساس دیده می شود که اکثر نقاط شبکه دچار انقباض شده اند. این در حالی است که در سال ۹۵ اکثر نقاط دچار انبساط شده اند. از نمودار شکل (۴) مشخص است که سطح تراز آب در شهریور سال های ۹۳ و ۹۴ روند افزایشی داشته است. در حالی که در سال ۹۵ روند کاهشی داشته است. بنابراین این روند افزایشی سطح تراز آب موجب افزایش نیروی وارد بر بدنه سد می گردد. لذا همان طور که انتظار می رود، شبکه دچار انقباض می شود. همچنین روند کاهشی تراز آب باعث انبساط شبکه می گردد. شکل (۱۳ و ۱۵ و ۱۷) مقادیر کمیت ماکریم بر اثر مربوط به همان ماه در آن سال ها را نشان می دهد.

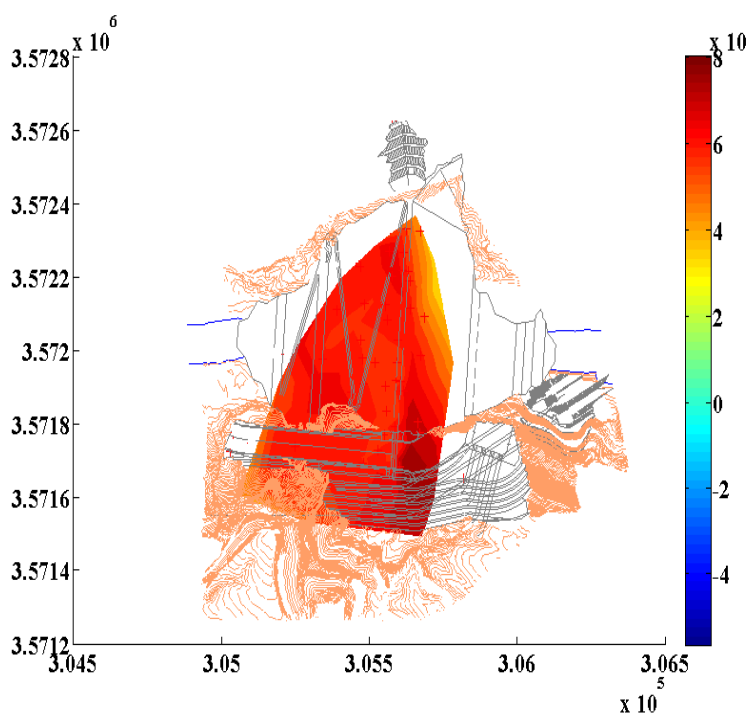
شکل (۱۸ و ۲۰) مقادیر کمیت اتساع حاصل از مشاهدات فصلی، در فصل تابستان و زمستان از سال ۹۳ را نشان می دهد. در تابستان اکثر نقاط شبکه دستخوش انقباض و تنها بخش جنوب غربی دستخوش



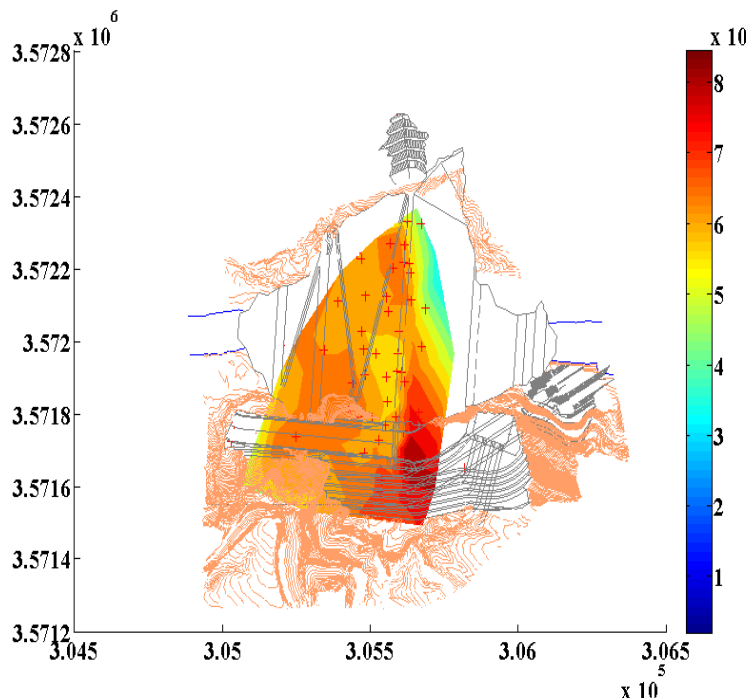
شکل ۶: کمیت اتساع در نقاط مختلف شبکه برای بردارهای جابجایی روزانه روز ۵ آبان ۹۳



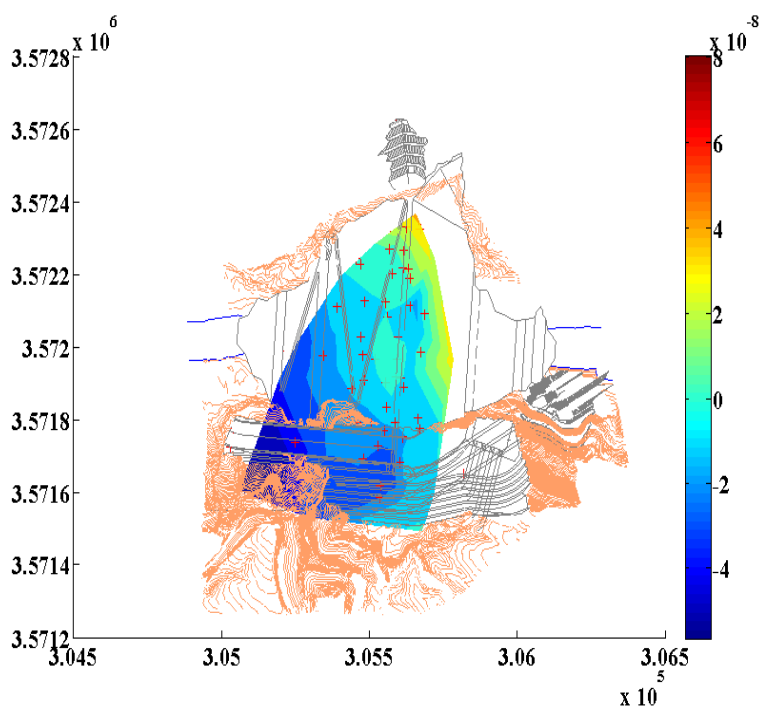
شکل ۷: کمیت ماکزیمم برش در نقاط مختلف شبکه برای بردارهای جابجایی روزانه روز ۵ آبان ۹۳



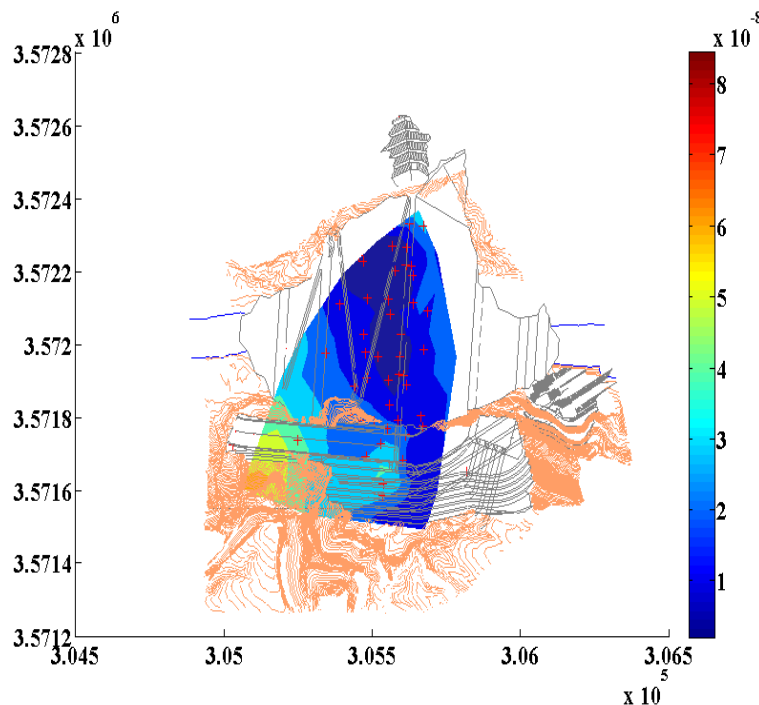
شکل ۸: کمیت اتساع در نقاط مختلف شبکه برای بردارهای جابجایی روزانه روز ۵ آبان ۹۴



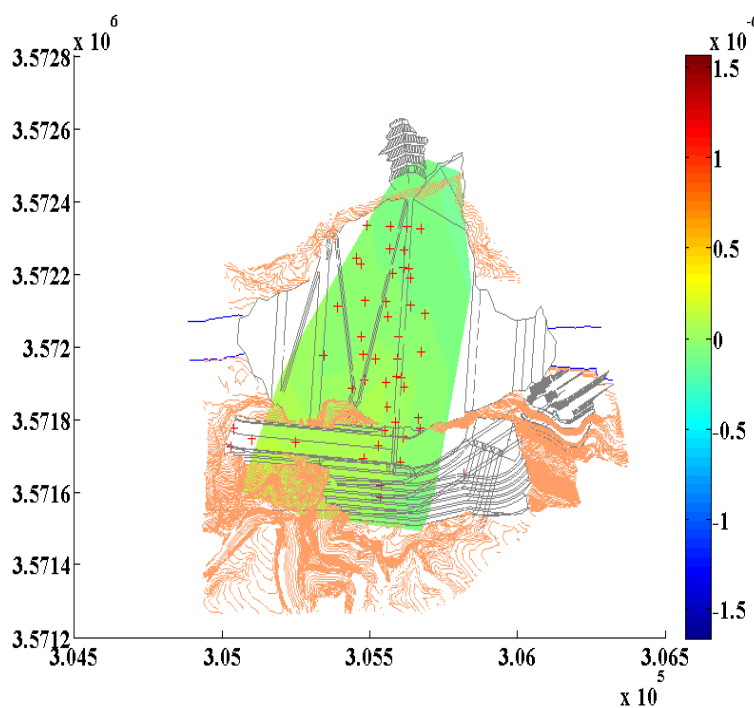
شکل ۹: کمیت ماکریم برش در نقاط مختلف شبکه برای بردارهای جابجایی روزانه روز ۵ آبان ۹۴



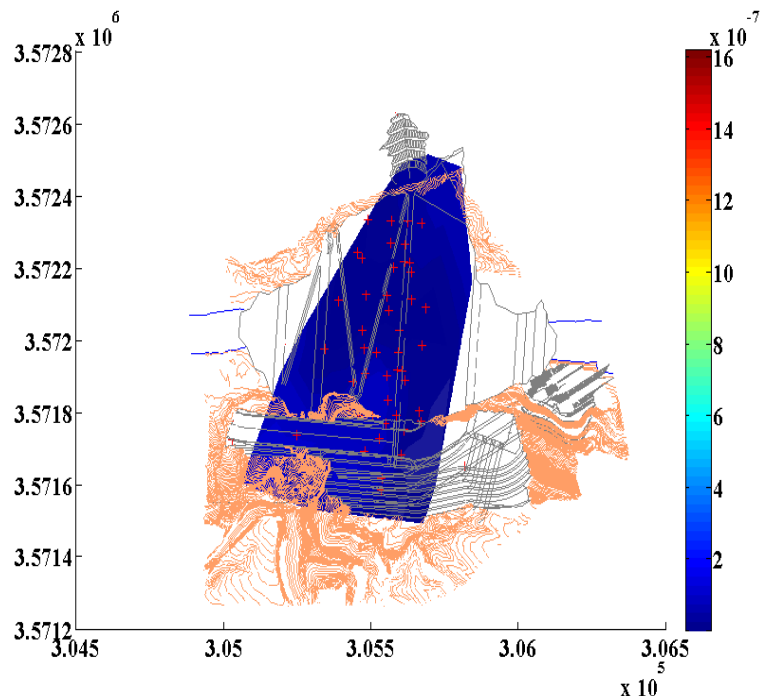
شکل ۱۰: کمیت اتساع در نقاط مختلف شبکه برای بردارهای جابجایی روزانه روز ۵ آبان ۹۵



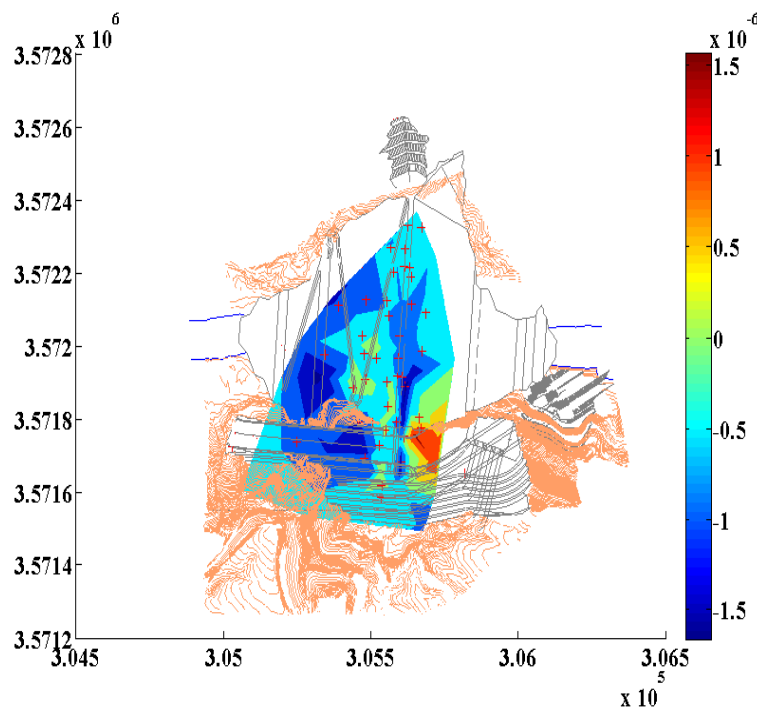
شکل ۱۱: کمیت ماکرژیم برش در نقاط مختلف شبکه برای بردار جابجایی روزانه روز ۵ آبان ۹۵



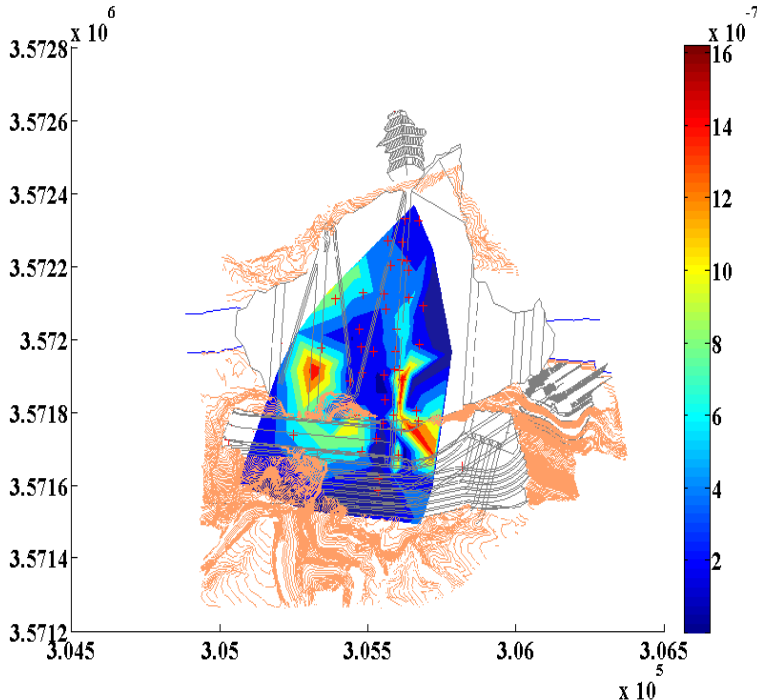
شکل ۱۲: کمیت اتساع در نقاط مختلف شبکه برای ماه شهریور از سال ۹۳



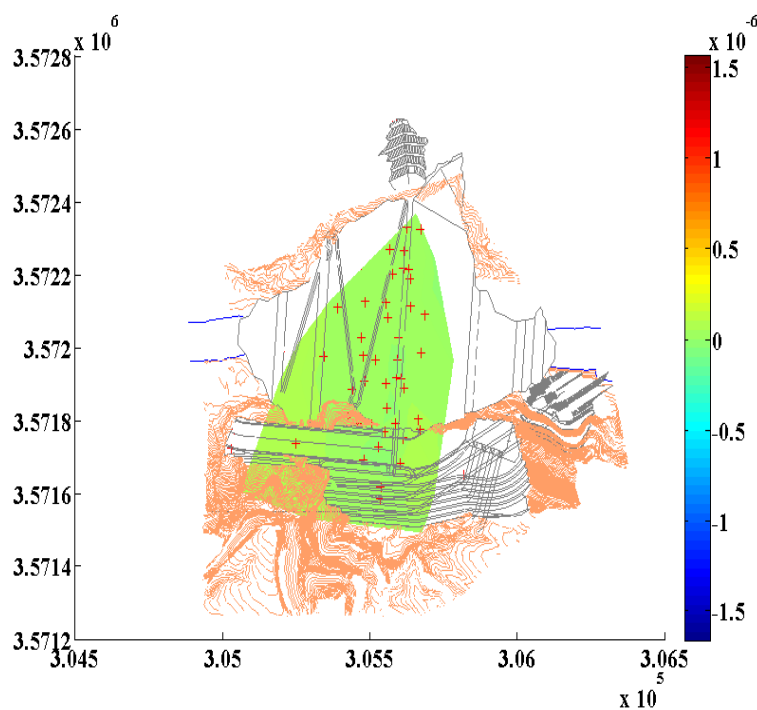
شکل ۱۳: کمیت ماکریم برش در نقاط مختلف شبکه برای ماه شهریور از سال ۹۳



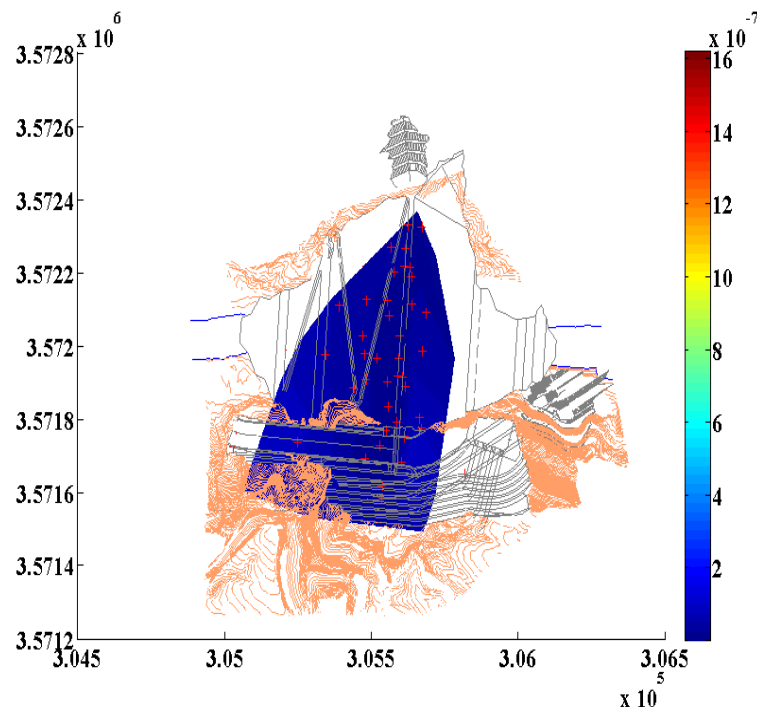
شکل ۱۴: کمیت اتساع در نقاط مختلف شبکه در ماه شهریور از سال ۹۴



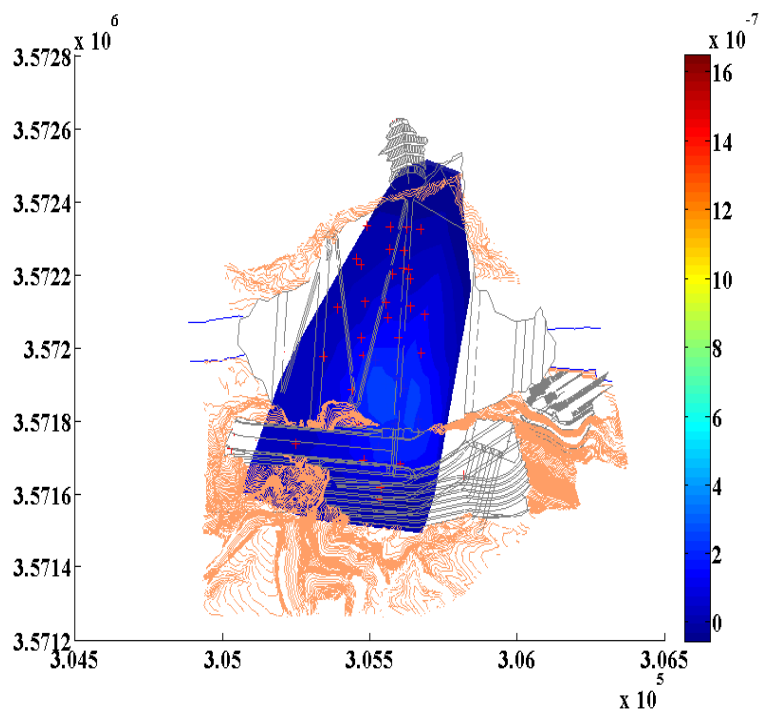
شکل ۱۵: کمیت ماکزیمم برش در نقاط مختلف شبکه در ماه شهریور از سال ۹۴



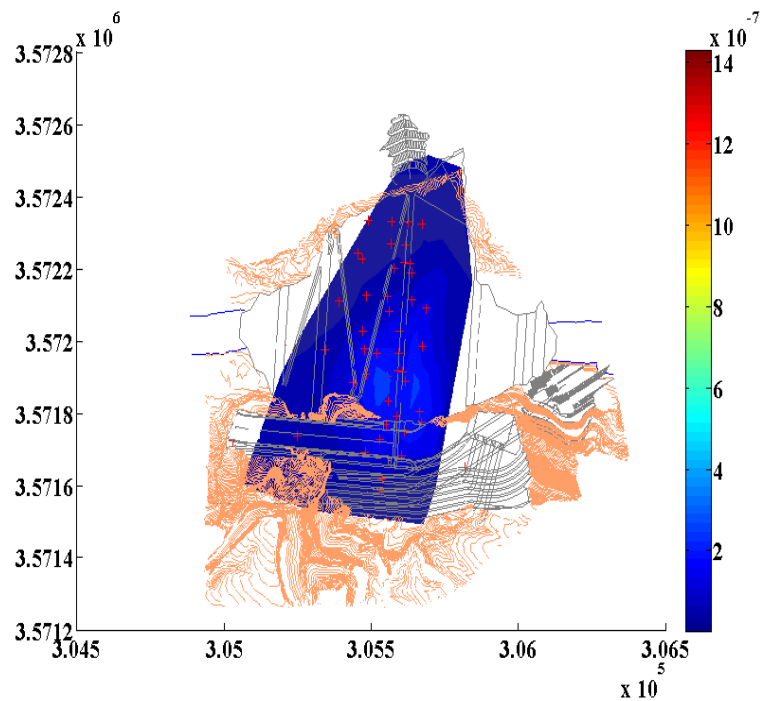
شکل ۱۶: کمیت اتساع در نقاط مختلف شبکه در ماه شهریور از سال ۹۵



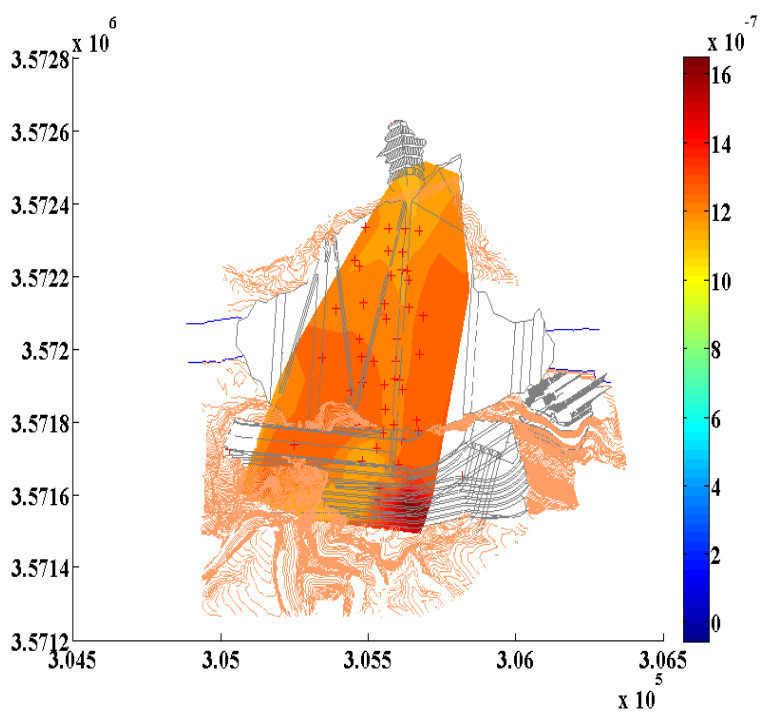
شکل ۱۷: کمیت ماکزیمم برش در نقاط مختلف شبکه در ماه شهریور از سال ۹۵



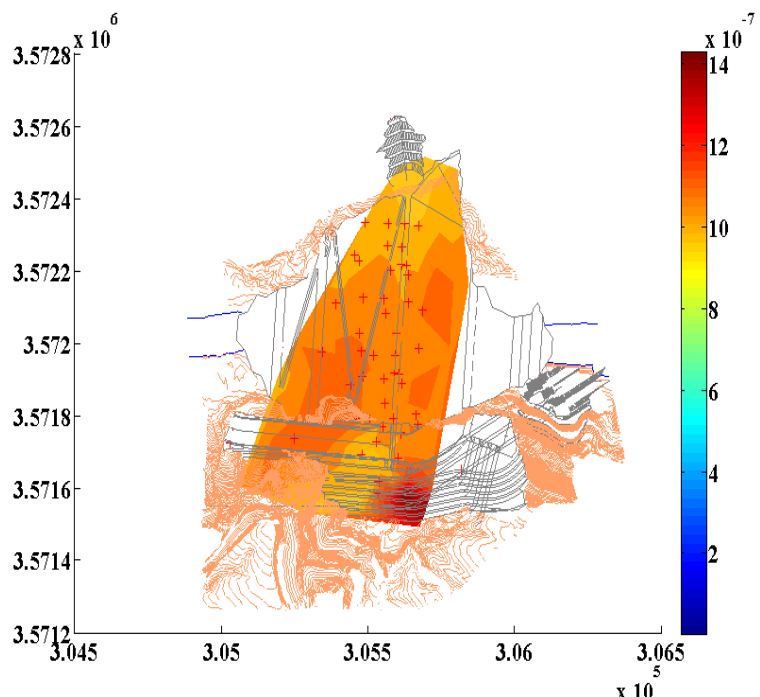
شکل ۱۸: کمیت اتساع در نقاط مختلف شبکه مربوط به فصل تابستان سال ۹۳



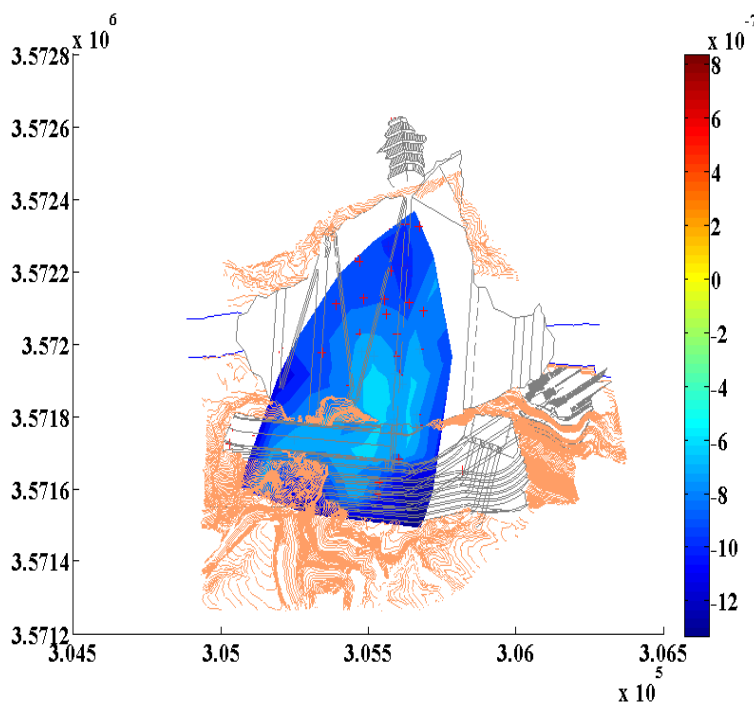
شکل ۱۹: کمیت ماکریم برش در نقاط مختلف شبکه مربوط به فصل تابستان سال ۹۳



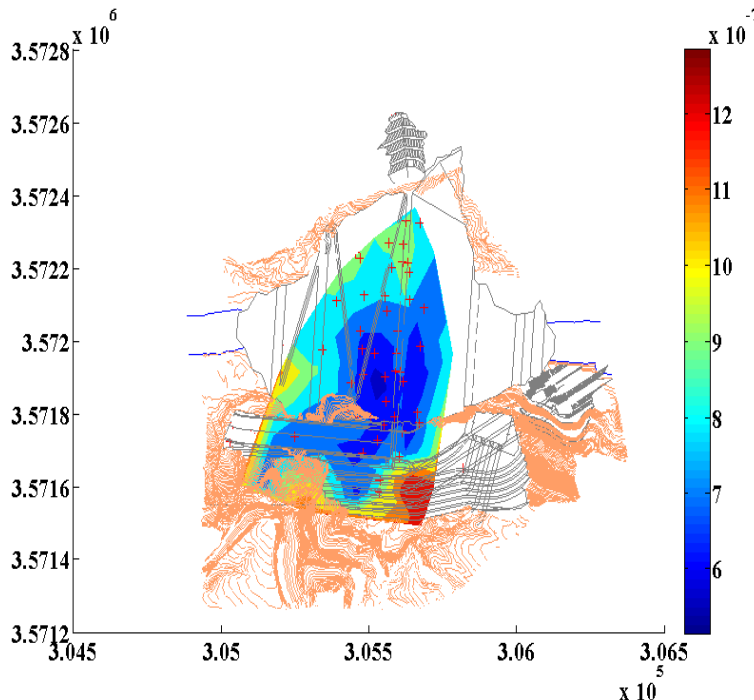
شکل ۲۰: کمیت اتساع در نقاط مختلف شبکه مربوط به فصل زمستان سال ۹۳



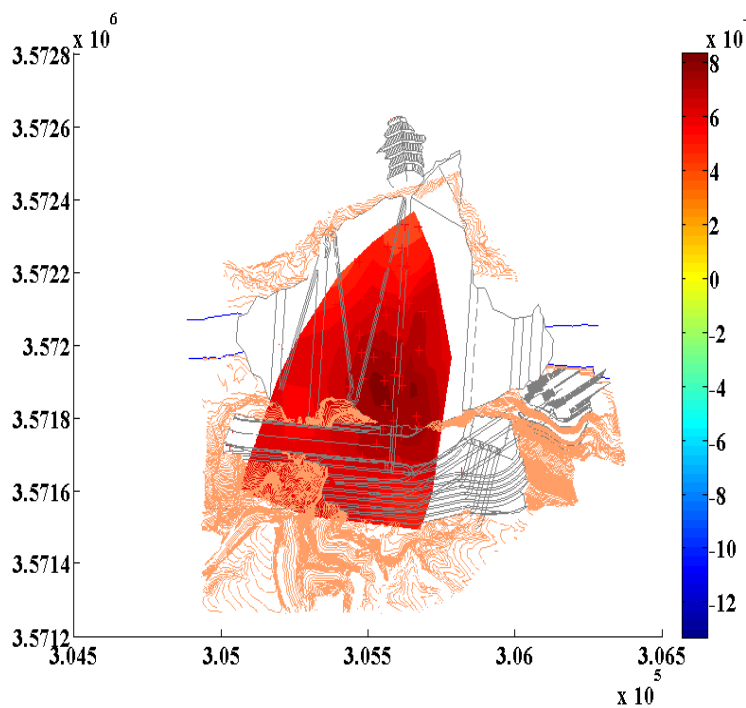
شکل ۲۱: کمیت ماکریم برش در نقاط مختلف شبکه مربوط به فصل زمستان سال ۹۳



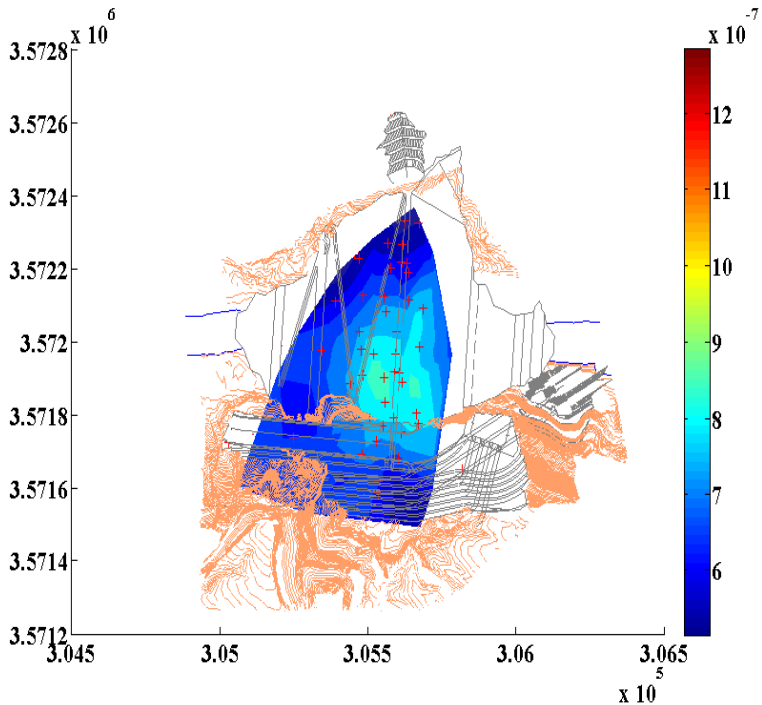
شکل ۲۲: کمیت اتساع در نقاط مختلف شبکه از تیر ۹۳ تا تیر ۹۴



شکل ۲۳: کمیت ماکریم برش در نقاط مختلف شبکه از تیر ۹۳ تا تیر ۹۴



شکل ۲۴: کمیت اتساع در نقاط مختلف شبکه از تیر ۹۴ تا تیر ۹۵



شکل ۲۵: کمیت ماکریم برش در نقاط مختلف شبکه از تیر ۹۴ تا تیر ۹۵

محاسبه گردید. این کمیتهای ناوردانه تغییر شکل را نشان می‌دهند و مقادیر آن‌ها به‌منظور

تانسور کرنش برای سد گتوند علیا به همراه پارامترهای ناوردای آن یعنی اتساع و ماکریم برش

اهمیت زیادی در تفسیر هندسی تغییر شکل می‌باشد. در این مقاله از روش المان محدود غیرخطی بزیر مکعبی برای محاسبه مولفه‌های تانسور کرنش استفاده گردید. نتایج به دست آمده تغییر شکل سد در قالب یک شبکه مثلث‌بندی شده نشان داده است. نتایج حاصل از مقادیر کمیت اتساع حاصل از مشاهدات روزانه، مربوط به روز پنج آبان از سال‌های ۹۳ و ۹۴ نشان می‌دهد نواحی تاج و بدنه سد دستخوش انبساط بوده‌اند. این در حالی است که مشاهدات همان روز در سال ۹۵ اکثر نقاط دستخوش انقباض بوده است. از طرفی، نتایج به دست آمده از مقادیر اتساع مربوط به ماه شهریور از سال‌های ۹۳ و ۹۴ نشانده‌اند این مطلب است که اکثر نقاط شبکه دستخوش انقباض بوده‌اند. این در حالی است که در سال ۹۵ در همان ماه دستخوش انبساط می‌باشند که این نتیجه با نمودار حداکثر تراز آب پشت سد در این ماه‌ها مطابقت دارد. چرا که سطح آب مخزن در این ماه در سال‌های ۹۳ و ۹۴ روند افزایشی و در سال ۹۵ روند کاهشی داشته است. نتایج به دست آمده از مقادیر اتساع حاصل از مشاهدات فصلی مربوط به فصل تابستان از سال ۹۳ نشان‌دهنده این مطلب است که اکثر نقاط شبکه دچار انقباض و تنها بخش جنوب غربی دستخوش انبساط بوده‌اند. این در حالی است که در فصل زمستان همان سال دچار انبساط هستند. این نتیجه نیز با نمودار حداکثر تراز آب مطابقت دارد چرا که در فصل تابستان نسبت به فصل زمستان در سال ۹۳ سطح آب مخزن بالاتر است. به عبارت دیگر هر چقدر سطح آب مخزن بیشتر باشد، فشار وارده بر تاج سد و بدنه بیشتر بوده است. همچنین نتایج به دست آمده از مقادیر اتساع حاصل از مشاهدات سالانه (از تیر ۹۳ تا تیر ۹۴) و (از تیر ۹۴ تا تیر ۹۵) نشان می‌دهد که اکثر نقاط شبکه در سال نخست دستخوش انقباض و در سال بعد دستخوش انبساط بوده‌اند. که نتایج حاصل با سطح تراز آب پشت سد مطابقت دارد. همچنین در ادامه، آزمون‌های آماری به منظور بررسی معنی‌دار بودن

رفتار سنجی سد و تعیین مراکزیم انباشت نیروهای داخلی به منظور بررسی امکان گسیختکی یا پایداری سد مورد بررسی قرار می‌گیرند. از آنجا که تانسور کرنش از طریق مشاهدات پایش محاسبه گردیده است، لذا مولفه‌ها و به تبع پارامترهای ناوردای آن متاثر از خطای مشاهدات بوده و باید از منظر اعتبار سنجی مورد بررسی قرار گیرند. به عبارت دیگر باید نشان دهیم که آیا این مقادیر عددی که برای مولفه‌های تانسور کرنش و ناوردهای آن به دست آمده‌اند از منظر آماری معنی‌دار هستند یا خیر. در ادامه از آزمون آماری بخش ۴-۳ به منظور آزمودن مقادیر ویژه تانسور کرنش حاصل از مشاهدات روزانه مربوط به روز ۵ آبان از سال ۹۳ مشاهدات ماهانه مربوط به ماه شهریور از سال ۹۳ و مشاهدات فصلی مربوط به فصل تابستان از سال ۹۳ برای یک المان متشی که در شکل (۳) نشان داده شده است، اعمال گردید. با توجه به اینکه فقط بردار جابجایی سالانه مربوط به دو سال در دسترس می‌باشد، لذا امکان اعمال آزمون فوق بر مقادیر ویژه تانسور کرنش حاصل از مشاهدات سالانه ممکن نیست. برای آزمودن مشاهدات روز ۵ آبان از سال ۹۳، ۵۰ مشاهده روزانه شامل روزهای ۱ تا ۱۰ آبان از همان سال، برای مشاهدات ماهانه مربوط به ماه شهریور از سال ۹۳، ۲۰ دوازده ماه از همان سال و برای مشاهدات فصلی مربوط به فصل تابستان از سال ۹۳، ۴۰ فصل از همان سال انتخاب شد. نتایج آزمون در جدول (۱) آورده شده است. قبول آزمون، به این معنی است که برای این المان انتخابی تغییر شکل معنادار است.

جدول ۱: آزمون‌های آماری مربوط به مولفه‌های فضای ویژه مربوط به مشاهدات روزانه، ماهانه و فصلی

آزمون	بردار جابجایی	روزانه	ماهانه	فصلی
قبول	قبول	قبول	قبول	قبول

۵- نتیجه‌گیری

تانسور کرنش و مفسرهای ناوردای حاصل از آن دارای

شرکت توسعه منابع آب و نیروی ایران و شرکت مهندسین مشاور مهاب قدس که داده‌های مورد نیاز این تحقیق را فراهم نمودند، اعلام می‌دارند.

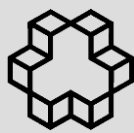
پارامترهای ناوردا حاصل از تانسور کرنش برای مشاهدات روزانه، ماهانه و فصلی برای المان‌های مثلثی اعمال گردید.

تقدیر و تشکر

نویسنده‌گان مقاله مراتب تشکر و قدردانی خود را از

مراجع

- [1] A. GharaBaghi, “Dams deformation analysis using ground and satellite geodesy observations”, MSc Thesis, University of Tehran, 2008 (Persian).
- [2] L. Emadali. “Monitoring of Maroon's earth dam using geotechnical and geodetic observations”, GEJ. 2014; 5(4): 57-68 (Persian)
- [3] Sh. Rouhi, Y. Jamour and A. Abolghasem. “Earth slip and deformation analysis in Mahabad dam”, Geomatics 86 conference, Tehran, Iran, 2007 (Persian).
- [4] N. Deng, J.G. Wang and A. Szostak – Chrzanowsk. “Dam deformation analysis using the partial least squares method ” , 13th FIG symposium on deformation measurement and analysis, LNEC, Lisbon, Portugal, 2008 May 12-15.
- [5] A. Ardalan and M. Raoofian Naeeni. “A proposal for deformation analysis via direct computation of strain tensor elements from the time-wise changes in the distances and angles in a geodetic network, Case study: Deformation computation of the geodynamic network of Iran”, Journal of the Earth and Space Physics, 2009, Volume 32, Issue 2, P. 37-60 (Persian).
- [6] “Gotvand-Olya dam continuous geodetic monitoring report”, Report No.8, Mahab-Gods consulting company, 2015 (Persian).
- [7] A. Saaban. “Parametric Interpolation To Scattered Data”, Ph.D Thesis, Universiti Sains Malaysia, 2008.
- [8] Z. Malekshahian and M. Raoofian Naeeni “Geometric deformation dnalysis of the Earth's Ccrust using GPS observation and



Geometrical Deformation Analysis of Gotvand-Olya Dam Using Permanent Geodetic Monitoring Network Observations

Monavar Ebrahimpour¹, Yazdan Amerian^{2*}, Mehdi Raoofian Naeeni²

1- M.Sc. Student of Geodesy, Faculty of Geodesy and Geomatics Engineering, K. N. Toosi University of Technology, Tehran, Iran
2- Assistant Professor, Faculty of Geodesy and Geomatics Engineering, K. N. Toosi University of Technology, Tehran, Iran

Abstract

In this paper, two-dimensional deformation analysis of the Gotvand-Olya dam is done using daily, monthly, seasonal and annual displacement vectors derived from permanent observations of the dam geodetic monitoring network. The strain tensor and its invariant parameters like dilatation and maximum shear are computed as well. Nonlinear finite element interpolation based on C1 Cubic Bezier interpolant function is used to compute the strain tensor in the Lagrangian approach. According to the results, the dilatations computed from the daily observations on March 25, 2014 and 2015 reveal the extension of dam, while on March 25, 2016 they indicate contraction in dam's body and crown. Monthly results show the extension of dam's geodetic network in September 2016 and contraction in September 2014 and 2015. Seasonal results showed the contraction in summer 2014 and extension in winter 2014 in dam's geodetic network. Dilatation values from annual displacement vectors indicate contraction in dam from July 2014 to July 2015 and extension from July 2015 to July 2016. Statistical test is used to investigate the statistical significance of daily, monthly and seasonal strain tensor invariants.

Key words: Geometrical Deformation Analysis, Nonlinear Finite Element, Strain Tensor, Statistical Test.

Correspondence Address: Faculty of Geodesy and Geomatics Engineering, K. N. Toosi University of Technology, Vali_Asr St., Mirdamad Cross, Tehran, Iran.
Tel: +98(21)88877071 (Ext.: 302)
Email: amerian@kntu.ac.ir